

Теоретическое исследование влияния эпитаксиальной деформации на структурные и магнитные свойства тонкой пленки YFeO_3 на подложке SrTiO_3

Г. С. Дедов⁺¹⁾, А. О. Шориков^{*×+}

⁺ Уральский федеральный университет, 620002 Екатеринбург, Россия

^{*} Институт физики металлов, Уральское отделение РАН, 620108 Екатеринбург, Россия,

[×] Сколковский институт науки и технологий, 121205 Москва, Россия

Поступила в редакцию 20 ноября 2023 г.

После переработки 29 марта 2024 г.

Принята к публикации 4 апреля 2024 г.

В рамках метода GGA + U были исследованы электронная структура и магнитные свойства тонкой пленки YFeO_3 на подложке SrTiO_3 . Было показано, что в тонкой пленке $\text{YFeO}_3/\text{SrTiO}_3$ эпитаксиальная деформация приводит к существенным искажениям кристаллической структуры и смещению атомов железа на поверхности пленки из плоскости, образованной ближайшими кислородами. Данные искажения приводят к смене типа дальнего магнитного упорядочения от антиферромагнитного G-типа, наблюдаемого в стехиометрическом YFeO_3 , к ферримагнитному упорядочению, близкому к антиферромагнитному упорядочению A-типа, и переходу от диэлектрического состояния в металлическое. Полная релаксация позиций атомов привела к возникновению искажения типа “дыхательной моды” в толще пленки, которая сопровождается появлением электрической поляризации 15.1 мКл/см^2 , что находится в согласии с экспериментом. Искажение кислородных октаэдров вокруг атомов железа приводит к переходу из высокоспинового в промежуточноспиновое состояние и падению величин локальных моментов.

DOI: 10.31857/S1234567824090088, EDN: GJTRWR

Введение. Мультиферроики – материалы, которые обладают магнитным и сегнетоэлектрическим упорядочениями в одной и той же фазе, способными влиять друг на друга [1], интенсивно изучались в последние годы после открытия эффекта связи между параметрами магнитного и ферроэлектрического порядка [2–4]. Поиск новых материалов-мультиферроиков обусловлен возможностью их использования для изготовления электронных устройств с более совершенными функциями в области хранения информации, для создания высокочувствительных датчиков, а также в спинтронике [5]. В высокосимметричных соединениях со структурой перовскита ABO_3 редко наблюдается одновременно электрическая поляризация и дальний магнитный порядок в одной фазе. Исключением является BaTiO_3 , хорошо изученный однофазный мультиферроик, с богатой фазовой диаграммой, демонстрирующий большое значение электрической поляризации [6]. Однако магнитное упорядочение и электрическая поляризация наблюдались одновре-

менно в других соединениях со структурой перовскита [7], в которых она была связана с понижением симметрии и смещением катиона В вдоль одной из кристаллографических осей. Аналогичного эффекта можно добиться, используя многослойные пленочные материалы, в которых искажения кристаллической структуры могут возникать вследствие эпитаксиальной деформации [8], что открывает целый класс соединений – плёночных мультиферроиков [9]. Пленочные ферроэлектрики в настоящее время являются актуальными объектами исследования как в рамках экспериментальных методов, так и прево-принципных подходов [10, 11]. Исследование мультиферроичных наноструктурированных пленок в последнее время ускорилось благодаря быстрому прогрессу в методах их выращивания [12]. Например, для одного из первых плёночных мультиферроиков YMnO_3 была исследована возможность выращивания моно и поликристаллов на подложках с различными составами и ориентациями поверхностей [13]. Эксперименты показывают, что пленочные материалы более склонны к проявлению электрической поляризации [14].

¹⁾e-mail: Grigory.Dedov@urfu.me

Итриевый ортоферрит YFeO_3 привлекает внимание своим уникальным сочетанием физических и химических свойств, и влияние допирования и методов обработки на его электрические и магнитные свойства в объемных образцах активно исследовалось экспериментальными методами [15–18]. Для объемных монокристаллов YFeO_3 зарегистрирована самая высокая скорость доменных границ [19]. Наличие свойств мультиферроика у тонкопленочного YFeO_3 на подложке $\text{SrRuO}_3/\text{SrTiO}_3(100)$ было подтверждено ранее в эксперименте [20]. В толстых пленках YFeO_3 на подложке SrTiO_3 была обнаружена сильная магнитная анизотропия перпендикулярно плоскости интерфейса (001) [21].

С помощью методов ядерного-магнитного резонанса (ЯМР) для пленки YFeO_3 на подложке Al_2O_3 , отожженной в кислородной атмосфере, было показано возникновение существенной неоднородности локальных магнитных полей, что авторы интерпретировали как возникновение двух классов ионов железа с разной валентностью $\text{Fe}^{2+}/\text{Fe}^{3+}$ [22].

В данной работе с помощью первопринципных расчетов, выполненных в рамках приближения электронной плотности, были исследованы электронные и магнитные свойства для стехиометрического образца YFeO_3 . Для гетероструктуры, представляющей собой YFeO_3 , нанесенный тонкой пленкой на подложку $\text{SrTiO}_3(001)$, было исследовано влияние искажений кристаллической структуры, вызванное эпитаксиальной деформацией, на электронные и магнитные свойства YFeO_3 . Показано, что смещение атомов железа в поверхностном слое из плоскости FeO_2 приводит возникновению электрической поляризации, а искажения кристаллической структуры вызывают смену дальнего магнитного порядка, спинового состояния и степени окисления.

Метод. Расчеты зонной структуры $\varepsilon(\mathbf{k})$ были выполнены в рамках приближения электронной плотности (ТФП) с использованием функционала PBE (Perdew-Burke-Ernzerhof) [23] для обменно-корреляционного потенциала. Учет кулоновских корреляций был выполнен в рамках метода GGA + U [24, 25]. Для учета экранировки кулоновского отталкивания электронами на оболочках атомов лигандов и особенностей кристаллической структуры параметр кулоновского взаимодействия на d -орбиталях атома железа был рассчитан в рамках метода линейного отклика [26]. В данной работе для всех рассмотренных структур были использованы параметры кулоновского отталкивания U и параметр Хунда J для d -орбиталей атома Fe, равными 4 и 1 эВ, соответственно. Все расче-

ты электронной структуры и релаксация позиций атомов были выполнены с помощью программного пакета Quantum Espresso [27], псевдопотенциалы были взяты из библиотеки стандартных псевдопотенциалов для твердых тел [28]. Метод GGA + U с полной релаксацией позиций атомов хорошо зарекомендовал себя и был использован ранее для исследования структурных и магнитных свойств кальциевого ортоферрита CaFeO_3 , где позволил получить описание фазового перехода под давлением в хорошем согласии с экспериментом [29], а также при исследовании магнитных свойств тонких пленок LaNiO_3 [30].

Результаты и их обсуждение.

Стехиометрический YFeO_3 . На первом этапе работы были проведены GGA + U расчеты электронной структуры для стехиометрического YFeO_3 для орторомбической фазы, параметры которой были взяты из работы [31]. Согласно экспериментальным данным чистый YFeO_3 является АФМ G-типа [32] с температурой Нееля $T_N = 644$ К [33]. В соединении YFeO_3 железо расположено в центрах кислородных октаэдров. Кристаллическое поле лигантов расщепляет 5-кратно вырожденный уровень d -уровень железа на 3-кратно вырожденный t_{2g} подуровень и 2-кратно вырожденный e_g подуровень, который расположен выше по энергии. В рамках данной работы были рассмотрены A-, C- и G-типы антиферромагнитного (АФМ) и ферромагнитное (ФМ) упорядочения. В таблице 1 приведены полученные в расчетах значения полной энергии на формульную единицу, ширина запрещенной зоны, значение магнитного момента на атоме Fe.

Таблица 1. Полная энергия, ширина запрещенной щели, магнитный момент на узле Fe и его отношение к максимальному моменту S_0 , полученные в GGA + U расчете для стехиометрического YFeO_3 для разных типов дальнего магнитного порядка

Тип АФМ	A-тип	C-тип	G-тип	F-тип
$E/\text{f.u.}, \text{эВ}$	0.236	0.108	0	0.378
$\Delta E, \text{эВ}$	0.2	1	1.8	3.5
$\mu/\text{атом}, \mu_B$	3.68	3.63	3.60	3.74
S/S_0	0.74	0.73	0.72	0.75

Согласно результатам расчета G-тип имеет наименьшую энергию и является наиболее стабильной конфигурацией для стехиометрического соединения YFeO_3 , что полностью согласуется с экспериментом [32]. Однако расчетное значение ширины запрещенной зоны 1.80 эВ меньше экспериментального значения 2.57 эВ [34]. Такая недооценка $\approx 30\%$ может быть связана с малой величиной использован-

ного параметра кулоновского отталкивания U . Хотя величина U была вычислена в рамках приближения линейного отклика [26], невысокая точность метода привела к недооценке данного параметра, и лучшего согласия с экспериментально измеренной величиной щели можно добиться путем варьирования параметра U .

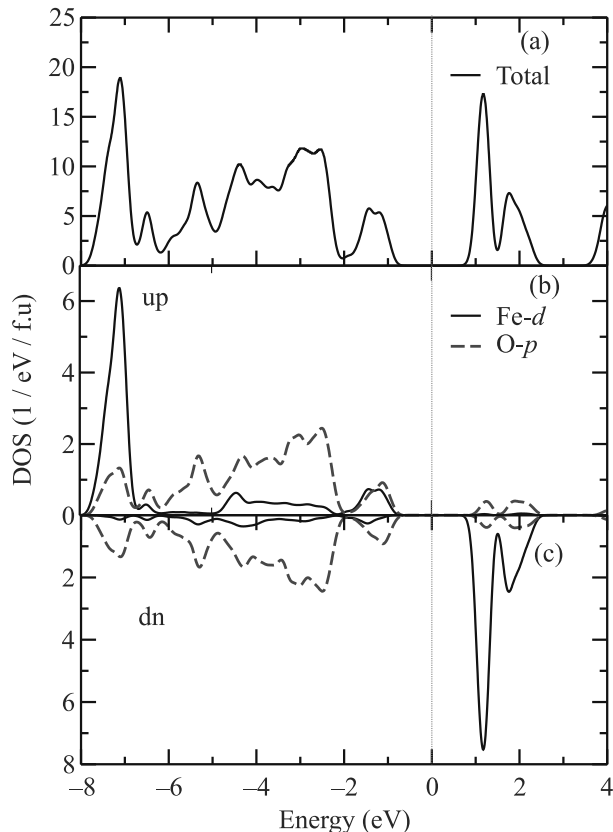


Рис. 1. (Цветной онлайн) Плотность состояний для АФМ G-типа в стехиометрическом YFeO_3 . На верхней панели полная плотность состояний, на панелях (b) и (c) – парциальные плотности состояний $\text{Fe}-d$ (черные сплошные линии), и $\text{O}-p$ (зеленые пунктирные линии) для спинов вверх и вниз, соответственно

В соединении YFeO_3 железо имеет степень окисления Fe^{3+} и электронную конфигурацию d^5 , которой в случае высокоспинового состояния соответствует максимальное теоретическое значение магнитного момента $S_0 = 5.0 \mu_B$. Вследствие сильной гибридизации p -орбиталей кислорода с d -орбиталью железа заселенности орбиталей отличаются от атомных значений, для формально незанятых орбиталей их заселенность больше 0. Поскольку величина локального магнитного момента определяется как разность заселеностей зон железа со спином вверх и вниз, $n(\uparrow) - n(\downarrow)$, рассчитанные величины локаль-

ного магнитного момента меньше S_0 . Рассчитанное значение S/S_0 для G-типа АМФ порядка находится в хорошем согласии с экспериментальным значением 0.868 [35]. Спиновая конфигурация какой-либо оболочки может быть определена из матриц заселенности, полученных в DFT расчете. Для этого матрицы необходимо диагонализовать и рассмотреть их собственные значения. Орбитали, для которых собственные значения близки к 1 рассматриваются как занятые, орбитали, для которых собственные значения меньше 0.5 – пустые. В стехиометрическом YFeO_3 для G-типа АФМ порядка собственные значения матрицы заселенности для спина вверх равны: 0.98, 0.99, 0.99, 0.99, 0.99 и для спина вниз – 0.14, 0.15, 0.16, 0.45, 0.45, что соответствует высокоспиновой конфигурации $t_{2g}(\uparrow)^3 e_g(\uparrow)^2, t_{2g}(\downarrow)^0 e_g(\downarrow)^0$. Для больших собственных значений, 0.45 являются следствием сильной гибридизации e_g орбиталей железа и p -орбиталей кислорода и данная конфигурация может быть записана как $d^5 L^2$. Для остальных типов АФМ и ФМ упорядочений также было получено высокоспиновое состояние ионов железа.

На рисунке 1 приведены графики плотности электронных состояний (DOS) для G-типа АФМ. Из приведенных графиков можно сказать, что в стехиометрическом YFeO_3 зоны $\text{O}-p$ $\text{Fe}-d$ лежат в пределах от -8 до 3 эВ, и сам он является изолятором. Потолок валентной зоны сформирован кислородными p - и железными d -состояниями, сильно гибридизованными между собой.

Тонкая пленка YFeO_3 на подложке SrTiO_3 . Для моделирования тонкой пленки YFeO_3 на подложке SrTiO_3 была сконструирована сверхячейка, состоящая из 4 слоев SrTiO_3 , а над подложкой были помещены два слоя YFeO_3 . Из верхнего слоя YFeO_3 были удалены атомы Y и вершинный кислород, так что поверхность пленки образована слоем FeO_2 . Над плоскостью FeO_2 был добавлен слой вакуума толщиной 23.4 Å (см. рис. 2). При релаксации кристаллической структуры размер и форма элементарной ячейки, и позиции атомов двух нижних слоев подложки SrTiO_3 оставались фиксированными. Для атомов, входящих в оставшиеся слои подложки и атомов тонкой пленки YFeO_3 была выполнена полная релаксация атомных позиций.

В отличие от стехиометрического YFeO_3 , в котором все атомы железа имеют одинаковое окружение, в тонкой пленке атомы железа становятся неэквивалентны: в нижнем слое Fe находится в центре кислородного октаэдра так же, как в стехиометрическом YFeO_3 , а в верхнем слое железо располагается в основании 4-х гранной пирамидки FeO_5 . В рассмотрен-

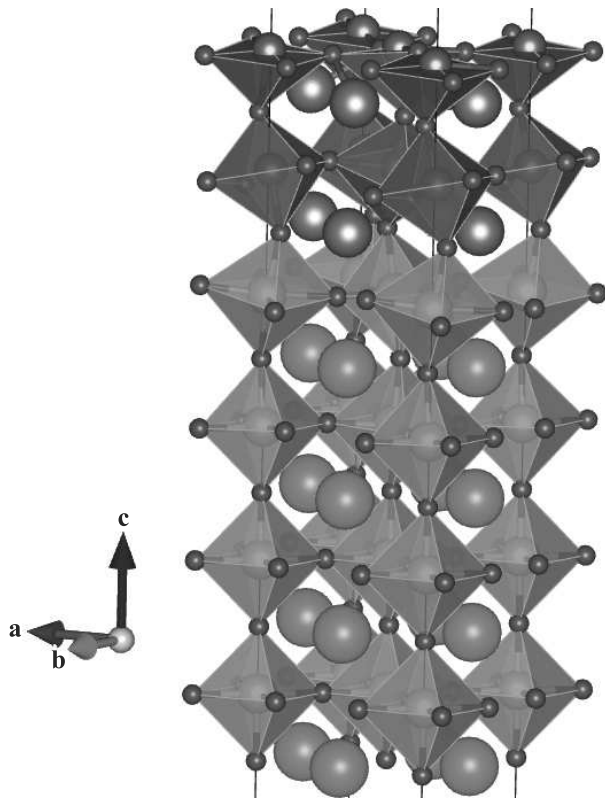


Рис. 2. (Цветной онлайн) Сверхъячейка YFeO_3 на подложке SrTiO_3 после релаксации. Красные шары обозначают атомы O, зеленые – Sr, серые – Y, голубые – Ti, коричневые – Fe

ной ячейке имеется 4 неэквивалентных атома железа, два в нижнем слое, и два в плоскости FeO_2 . В результате релаксации кристаллической структуры возникают дополнительные искажения и смещения атомов и симметрия ячейки понижается. Вследствие этого возникает сложное ферримагнитное упорядочение, близкое к А-типу АФМ порядка. На рисунках 3 и 4 приведены графики плотности электронных состояний (DOS) для низшего по энергии типа дальнего магнитного порядка. Величины магнитных моментов и соответствующие изменения кристаллической структуры приведены в табл. 2. В ходе релаксации кристаллической структуры атомы железа в верхнем слое смещаются из верхней плоскости FeO_2 на 0.12 и 0.13 Å и становятся неэквивалентны, а их локальные моменты становятся равны $3.1\mu_B$ и $2.8\mu_B$, соответственно. Атомы кислорода также смещаются, что соответствует наклону и повороту пирамидок FeO_5 на 16° и 19° повороту на 1.6° и 1.2° . В нижнем слое объемы кислородных октаэдров становятся различными (9.6 и 10.1 \AA^3), и возникает искажение по типу “дыхательной моды”. Атомы железа в центрах октаэдров так же становятся неэквивалентными, а их

локальные магнитные моменты становятся равными $1.9\mu_B$ и $2.3\mu_B$ и направлены АФМ относительно моментов атомов в верхнем слое, соответственно.

Искажения локального окружения атомов железа приводят к существенному изменению электронной конфигурации: для стехиометрического YFeO_3 в расчете было получено высокоспиновое состояние, в котором все 5 орбиталей с одним спином заселены, а орбитали с противоположным спином практически пустые. В случае тонкой пленки собственные значения матриц заселенности для атомов в нижней плоскости (Fe_2), окруженных кислородным октаэдром, для спина вверх равняются: 0.58, 0.93, 0.99, 0.99, 0.99, для спина вниз: 0.18, 0.2, 0.25, 0.65, 0.99. Данную конфигурацию можно рассматривать как промежуточно-спиновое состояние со спином $4/2$: один электрон из зоны со спином вверх, расположенный на $d(3z^2 - r)$ орбитали, переходит на зону со спином вниз и заселяет $d(xy)$ орбиталь t_{2g} подзоны. Для атома в верхней плоскости (Fe_3), имеющего окружение в форме пирамидки, и магнитный момент которого ориентирован в противоположную сторону (АФМ), заселенности орбиталей для спина вверх равняются: 0.12, 0.14, 0.14, 0.37, 0.97, для спина вниз: 0.89, 0.96, 0.99, 0.99, 0.99. Необходимо отметить, что вследствие изменения расстояния Fe-O и возрастания гибридизации с p -орбиталями кислорода суммарная заселенность d -орбиталей увеличивается. Такую орбитальную конфигурацию можно рассматривать как d^6 , а сам ион железа находится в высокоспиновом состоянии, которому тоже будет соответствовать спин $4/2$. Для остальных двух атомов железа получается аналогичная электронная конфигурация. Разница в величинах магнитных моментов может быть объяснена возникшей разницей в объемах октаэдров и пирамидок и усилением гибридизации между d -орбиталями железа и p -орбиталями кислородов вследствие уменьшения среднего расстояния Fe-O. В работе [22] для термообработанных в кислородной атмосфере толстых пленок YFeO_3 с помощью исследований методами ЯМР было показано возникновение неоднородности распределения локальных магнитных полей на масштабах межатомного расстояния, что авторы интерпретировали как появление двух неэквивалентных позиций ионов железа с разной валентностью $4s^0 3d^6 \text{Fe}^{2+}$ ($S = 4/2$) и $4s^0 3d^5 \text{Fe}^{3+}$ ($S = 5/2$). Необходимо отметить, что данные исследования были выполнены для толстых пленок ~ 880 нм, кристаллическая структура которых мало отличалась от объемных монокристаллических образцов. Для таких пленок было показано наличие двух областей: слой 50 нм вблизи интерфейса с сильной деформацией за счет

эпитаксиального растяжения и расположенный выше слой со структурой, близкой к объемным монокристаллическим образцам [21]. Результаты расчетов позволяют предложить еще одно объяснение результатам ЯМР экспериментов: часть ионов железа в глубине пленки вследствие сильных искажений кристаллической структуры переходит из высокоспинового в промежуточноспиновое состояние со спином $S = 4/2$. А атомы на поверхности или расположенные рядом с кислородной вакансией, имеющие окружение в виде пирамидки, имеют электронную конфигурацию d^6 с такой же величиной спина $S = 4/2$, как и предполагали авторы статьи. Рассмотренная ячейка не позволяет получить более сложное магнитное упорядочение, и для более точного описания влияния эпитаксиальной деформации необходимо рассмотреть ячейки с большим числом неэквивалентных атомов железа и кислородными вакансиями, что рамках первоначальных расчетов может быть со-пряжено с большими техническими сложностями.

Таблица 2. Значения магнитного момента, смещение атома железа из плоскости FeO_2 и объем соответствующего октаэдра/пирамидки. Fe_4 и Fe_3 располагаются в поверхностном слое, Fe_2 и Fe_1 – в нижнем слое. В нижней строке приведены данные для атома железа в стехиометрическом YFeO_3

	μ, μ_B	Смещение, Å	$V, \text{\AA}^3$
Fe_4 (пирамидка)	2.77	0.13	4.9
Fe_3 (пирамидка)	3.10	0.12	5.1
Fe_2 (октаэдр)	2.29	0.02	10.1
Fe_1 (октаэдр)	1.89	0.02	9.6
Fe	3.6	0.00	10.6

Обменные параметры в модели Гейзенберга. Для исследования изменения дальнего магнитного порядка вследствие эпитаксиальной деформации и понимания микроскопических причин удобно применять модельный подход в рамках модели Гайзенберга.

$$\hat{H} = - \sum_{i \neq j} J_{ij} \hat{\mathbf{S}}_i \hat{\mathbf{S}}_j, \quad (1)$$

где i и j – индексы узлов, J_{ij} – параметр обменного взаимодействия между узлами i и j , $S_{i(j)}$ локальный момент на узлах $i(j)$. Параметры обменного взаимодействия могут быть получены из полных энергий различных типов дальнего магнитного упорядочения или с использованием метода, описанного в работах [36, 37], с помощью построения эффективного гамильтониана на атомно-центрированных функциях Ванье, который и был использован в данной работе. Данный подход позволяет избавиться от погрешностей, вызванных изменением величин локальных

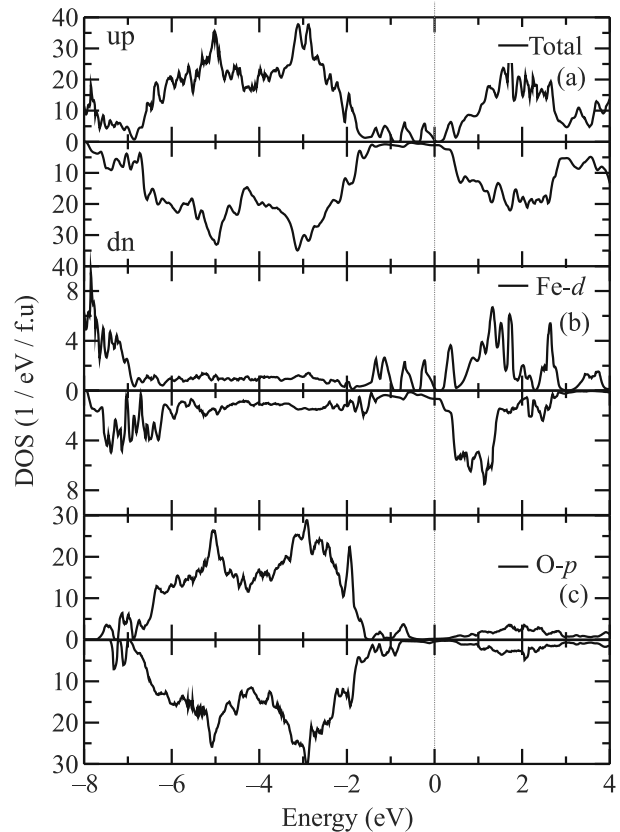


Рис. 3. Плотность состояний для тонкой пленки YFeO_3 . На верхней панели полная плотность состояний, на панели (b) – парциальные плотности состояний $\text{Fe}-d$ (черные сплошные линии) на (c) – $\text{O}-p$ (черные сплошные линии) для спинов вверх и вниз

моментов, возникающим при рассмотрении разных типов магнитного порядка.

Для построения модельного гамильтониана был выбран базис d -орбиталей Fe и p -орбиталей O, которые дают максимальный вклад в состояния вблизи уровня Ферми. Из анализа кристаллической структуры можно предположить, что наибольшее влияние будут иметь взаимодействия, ограниченные третьей координационной сферой. В данной работе были рассчитаны следующие обменные параметры между атомами железа: обменное взаимодействие с ближайшим соседом J_1 , обменное взаимодействие по диагонали грани элементарной ячейки J_2 и взаимодействие атомов из разных плоскостей по диагонали элементарной ячейки J_3 . Результаты представлены в табл. 3.

Расчеты параметров обменного взаимодействия между атомами Fe в модели Гейзенберга показывают, что в стехиометрическом YFeO_3 выделяется один большой по значению АФМ обменный параметр

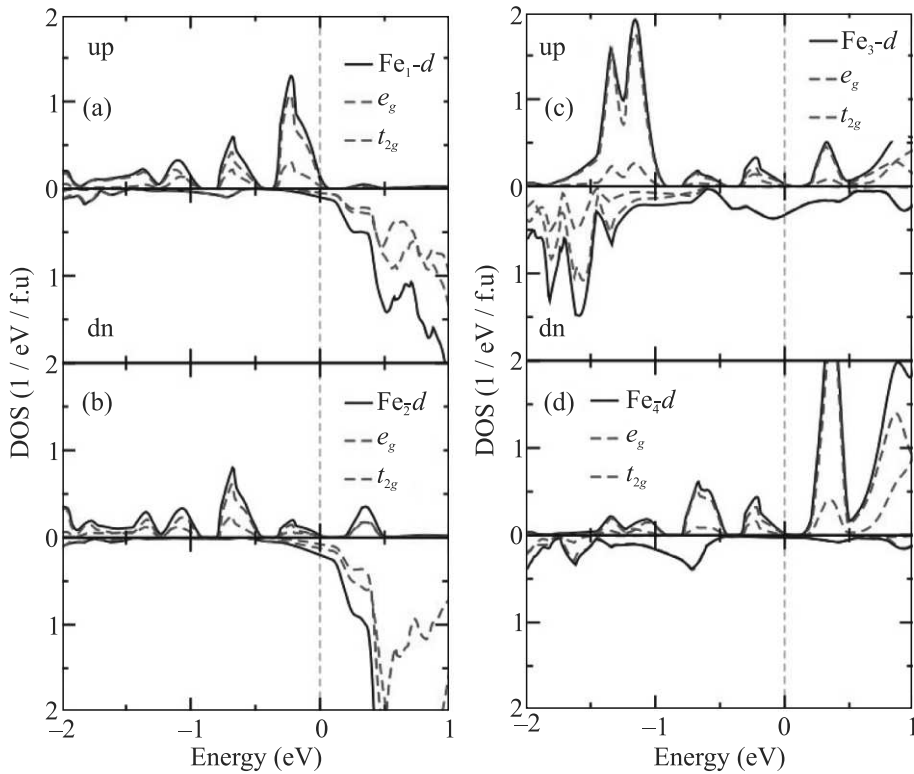


Рис. 4. (Цветной онлайн) Плотность состояний d -оболочки атомов Fe для тонкой пленки YFeO₃ (черные сплошные линии), t_{2g} – подзоны (красные пунктирные линии), e_g (зеленые пунктирные линии) для спинов вверх и вниз

Таблица 3. Значения обменных параметров. J_1^\perp – взаимодействие вдоль кристаллографической оси c , J_1^\parallel – взаимодействие в плоскости ab в рамках первой координационной сферы

	J_1^\perp , K	J_1^\parallel , K	J_2 , K	J_3 , K
YFeO ₃	-510	-510	-10	2
YFeO ₃ /SrTiO ₃	-317	-40	12	-6

между ближайшими соседями во всех направлениях, что приводят к стабилизации G-типа АФМ порядка, параметры обменного взаимодействия с остальными более дальними соседями на порядки меньше. Для тонкой пленки YFeO₃/SrTiO₃ вследствие эпитаксиальной деформации и смене состояния d -Fe с высокоспинового на промежуточноспиновое остается единственный большой АФМ параметр обменного взаимодействия между атомами железа вдоль кристаллографической оси c , параметры обменного взаимодействия между атомами железа в плоскости, перпендикулярной оси c в рамках первой координационной сферы имеют также АФМ знак, но становятся на порядок ниже. Параметр обменного взаимодействия в плоскости ab между атомами второй координационной сферы, имеет ФМ знак, что соответствует А-типу АФМ порядка. Такое изменение параметров обменного взаимодействия приводит к смене G-типа

на А-тип дальнего магнитного порядка, который в результате прямого GGA + U расчета имел наименьшую энергию.

Расчет электрической поляризации. В тонкой пленке вследствие эпитаксиальной деформации атомы Fe смешаются из верхней плоскости FeO₂, что должно приводить к возникновению дипольного момента и спонтанной электрической поляризации. В данной работе расчет электрической поляризации был проведен в рамках метода, основанного на расчете фазы Берри [38, 39]. Было получено, что в тонкой пленке возникает спонтанная электрическая поляризация величиной 15.1 мКл/см², что находится в согласии с экспериментом [20]. Расчет для стехиометрического образца показал, что в нем спонтанная поляризация отсутствует, поскольку атомы Fe находятся в центрах кислородных октаэдров. Проведенные расчеты показывают, что эпитаксиальная деформация позволяет существенно изменять магнитные свойства YFeO₃ и одновременно вызывает спонтанную электрическую поляризацию.

Заключение. В данной работе в рамках метода GGA + U были исследованы электронная структура и магнитные свойства стехиометрического YFeO₃ и YFeO₃, нанесенного тонкой пленкой на подложку

SrTiO_3 . В расчете было получено, что в стехиометрическом YFeO_3 наименьшую полную энергию имеет G-тип АФМ упорядочения, что полностью согласуется с экспериментом, и сам он является диэлектриком с величиной запрещенной щели 1.8 эВ. Расчет с полной релаксацией атомных позиций, выполненный в рамках метода GGA + U для тонкой пленки $\text{YFeO}_3/\text{SrTiO}_3$, показал, что тип дальнего магнитного порядка изменяется с G-типа АФМ в стехиометрическом YFeO_3 на сложное ферримагнитное упорядочение, близкое к A-типу и переходу в металлическую фазу с небольшой плотностью состояний на уровне Ферми. Полная релаксация привела к возникновению существенных искажений, преимущественно в верхней плоскости FeO , и смещению атома железа из плоскости FeO_2 , а сама плоскость дополнительно искажается за счет поворота и наклона пирамидок FeO_5 относительно оси c на угол 16° и 19° повороту на 1.6° и 1.2° соответственно. В свою очередь, эти искажения привели к изменению спинового состояния ионов железа, расположенных в центре кислородных октаэдров с высокоспиновым с величиной $3.6 \mu_B$, как в стехиометрическом YFeO_3 , на промежуточноспиновое состояние со спином $S = 4/2$. При этом один электрон из зоны со спином вверх, расположенный на $d(3z^2 - r)$ орбитали, переходит на зону со спином вниз и заселяет $d(xy)$ орбиталь t_{2g} подзоны. Величина магнитных моментов для атомов нижнего слоя уменьшается до $1.9\mu_B$ и $2.3\mu_B$. Ионы железа, расположенные в поверхностном слое, имеющие окружение в виде пирамидок, имеют электронную конфигурацию d^6 , которой соответствует такой же спин $S = 4/2$. Величины магнитных моментов равны $2.8\mu_B$ и $3.1\mu_B$. Полученный результат позволяет предложить новую интерпретацию данным ЯМР измерений [22]. Смещение атома железа из плоскости FeO_2 приводит к возникновению электрической поляризации величиной 15.1 мКл/см^2 .

Смена типа дальнего магнитного порядка в тонкой пленке связана с изменением величин обменного взаимодействия между атомами железа. Параметры обменного взаимодействия в модели Гейзенберга, рассчитанные для стехиометрического YFeO_3 , показывают, что существует большой по величине АФМ обменный параметр между атомами железа в первой координационной сфере, а обмен между вторыми и более дальними соседями на два порядка меньше. В случае тонкой пленки $\text{YFeO}_3/\text{SrTiO}_3$ из-за искажений кристаллической структуры остается один большой обменный параметр между атомами железа, расположенными вдоль оси c , а обмен между атомами железа первой координационной сферы в плос-

кости ab , хотя и имеет АФМ знак, на порядок ниже, что приводит к смене типа дальнего магнитного порядка с G- на A-тип. Обмен между вторыми соседями в плоскости ab имеет ФМ знак, что дополнитель но стабилизирует формирование АФМ A-типа.

В ходе исследования было выявлено, что эпитаксиальная деформация приводит к существенным изменениям магнитных и проводящих свойств, а также к возникновению спонтанной электрической поляризации в YFeO_3 , что говорит о возможности получения свойств мультиферроика и изменения величины магнитного момента и типа дальнего порядка в тонкопленочном YFeO_3 путем выбора подложки с подходящими составом и ориентацией.

Финансирование. Работа выполнена в рамках государственного задания МИНОБРНАУКИ России (тема “Электрон”, № 122021000039-4) при частичной поддержке Российского научного фонда (проект № 19-72-30043).

Конфликт интересов. Авторы заявляют об отсутствии конфликта интересов.

1. H. Schmid, Ferroelectrics **162**(1), 317 (1994).
2. W. Eerenstein, N. D. Mathur, and J. F. Scott, Nature **442**, 759 (2006).
3. S.-W. Cheong and M. Mostovoy, Nat. Mater. **6**, 13 (2007).
4. D. Khomskii, Physics **2**, 20 (2009).
5. M. Gajek, M. Bibes, S. Fusil, K. Bouzehouane, J. Fontcuberta, A. Barthélémy, and A. Fert, Nat. Mater. **6**, 292 (2007).
6. V. V. Shvartsman, W. Kleemann, R. Haumont, and J. Kreisel, Appl. Phys. Lett. **90**(17), 172115 (2007).
7. N. A. Hill, J. Phys. Chem. B **104**(29), 6694 (2000).
8. J. Wang, Science, **299**(5613), 1719 (2003).
9. R. Ramesh and N. A. Spaldin, Nat. Mater. **6**(1), 21 (2007).
10. A. Fernandez, M. Acharya, H.-G. Lee, J. Schimpf, Y. Jiang, D. Lou, Z. Tian, and L. W. Martin, Adv. Mater. **34**(30), 2108841 (2022).
11. Z.-I. Yuan, Y. Sun, D. Wang, K.-Q. Chen, and L.-M. Tang, J. Phys. Condens. Matter **33**(40), 403003 (2021).
12. D. G. Schlom, J. H. Haeni, J. Lettieri, C. D. Theis, W. Tian, J. C. Jiang, and X. Q. Pan, Materials Science and Engineering: B **87**(3), 282 (2001).
13. N. Fujimura, T. Ishida, T. Yoshimura, and T. Ito, Appl. Phys. Lett. **69**(7), 1011 (1996).
14. J. Ma, J. Hu, Z. Li, and C.-W. Nan, Adv. Mater. **23**(9), 1062 (2011).
15. Z. X. Cheng, H. Shen, J. Y. Xu, P. Liu, S. J. Zhang, J. L. Wang, X. L. Wang, and S. X. Dou, J. Appl. Phys. **111**(3), 034103 (2012).

16. G. Padmasree, S. Shravan Kumar Reddy, J. Ramesh, P. Yadagiri Reddy, and Ch. Gopal Reddy, Mater. Res. Express **7**, 116103 (2020).
17. N.O. Khalifa, H.M. Widatallah, A.M. Gismelseed, F.N. Al-Mabsali, R.G. S. Sofin, and M. Pekala, Hyperfine Interactions **237**, 46 (2016).
18. G. Padmasree, P. Yadagiri Reddy, and Ch. Gopal Reddy, Ceramics International **48**(19), 28980 (2022).
19. В.Г. Барьяхтар, Б.А. Иванов, М.В. Четкин, УФН **146**(3), 417 (1985).
20. M. Shang, C. Wang, Y. Chen, F. Sun, and H. Yuan, Mater. Lett. **175**, 23 (2016).
21. J. Scola, P. Boullay, W. Noun, E. Popova, Y. Dumont, A. Fouchet, and N. Keller, J. Appl. Phys. **110**, 043928 (2011).
22. V.V. Ogleblichev, V.I. Izuyurov, Yu.V. Piskunov, A.G. Smol'nikov, A.F. Sadykov, S.A. Chuprakov, S.S. Dubinin, S.V. Naumov, and A.P. Nosov, JETP Lett. **114**(1), 29 (2021).
23. J.P. Perdew, K. Burke, and M. Ernzerhof, Phys. Rev. Lett. **77**, 3865 (1996).
24. V.I. Anisimov, J. Zaanen, and O.K. Andersen, Phys. Rev. B **44**, 943 (1991).
25. V.I. Anisimov, F. Aryasetiawan, and A.I. Lichtenstein, J. Phys. Condens. Matter **9**(4), 767 (1997).
26. M. Cococcioni, Phys. Rev. B **71**(5), 35015 (2005).
27. P. Giannozzi, S. Baroni, N. Bonini et al. (Collaboration), J. Phys. Condens. Matter **21**, 395502 (2009).
28. G. Prandini, A. Marrazzo, I.E. Castelli, N. Mounet, and N. Marzari, npj Computational Materials **4**, 72 (2018).
29. A. Shorikov, JETP Lett. **116**(9), 634 (2022).
30. N.O. Vambold, G.A. Sazhaev, and I.V. Leonov, JETP Lett. **118**, 886 (2023).
31. K. Kitayama, M. Sakaguchi, Y. Takahara, H. Endo, and H. Ueki, J. Solid State Chem. **177**, 1933 (2004).
32. M. Eibschütz, S. Shtrikman, and D. Treves, Phys. Rev. **156**, 562 (1967).
33. D. Du Boulay, E.N. Maslen, V.A. Streltsov, and N. Ishizawa, Acta Crystallographica Section B Structural Science **51**(6), 921 (1995).
34. M.A. Butler, D.S. Ginley, and M. Eibschutz, J. Appl. Phys. **48**(7), 3070 (1977).
35. B.C. Tofield and B.E.F. Fender, J. Phys. Chem. Solids **31**, 2741 (1970).
36. D. Korotin, A.V. Kozhevnikov, S.L. Skornyakov, I. Leonov, N. Binggeli, V.I. Anisimov, and G. Trimarchi, Eur. Phys. J. B **65**, 91 (2008).
37. Dm. M. Korotin, V. V. Mazurenko, V. I. Anisimov, and S. V. Streltsov, Phys. Rev **91**, 224405 (2015).
38. R.D. King-Smith and D. Vanderbilt, Phys. Rev. B **47**(3), 1651 (1993).
39. D. Vanderbilt, J. Phys. Chem. Solids **61**(2), 147 (2000).